



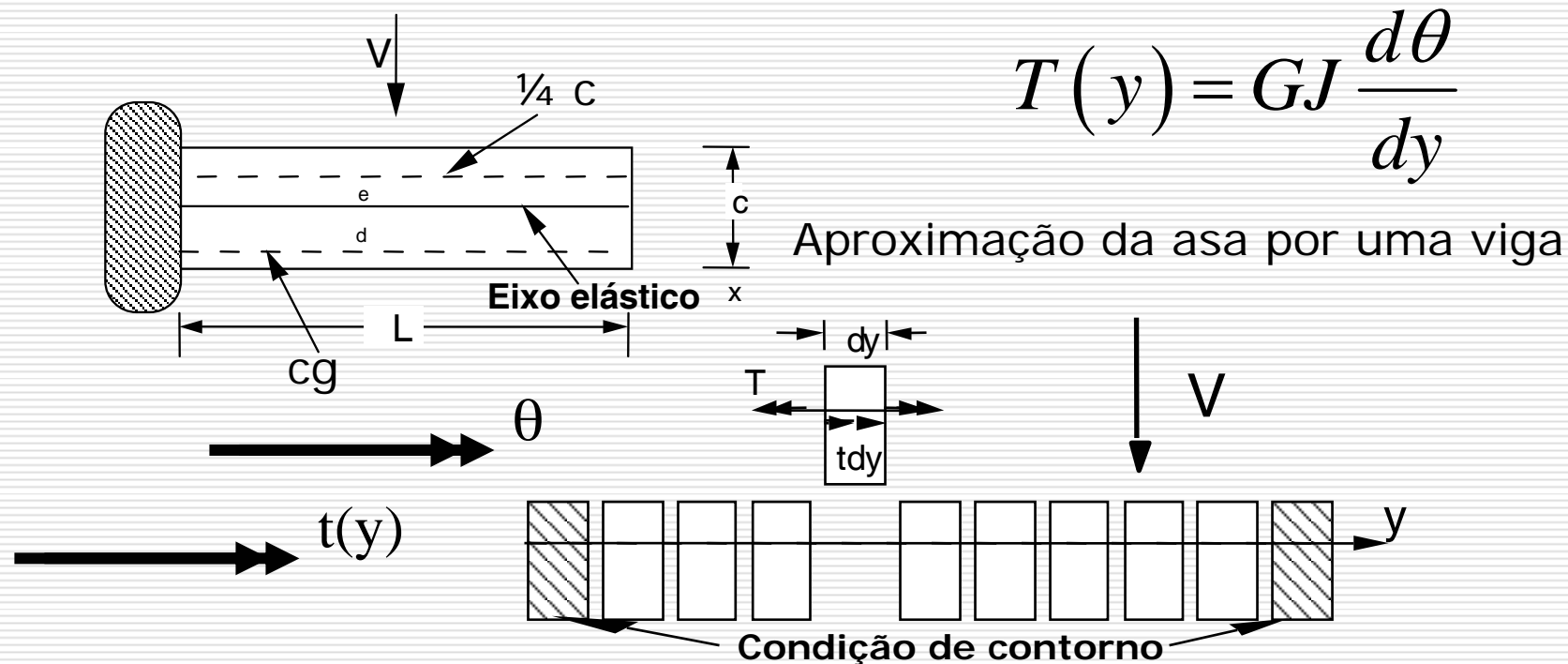
AE-249 - AEROELASTICIDADE

Aeroelasticidade Estática - Torção de asas

Divergência de uma asa

- ❑ Caso de estudo – divergência de uma asa sem enflechamento, com rigidez igualmente distribuída ao longo da envergadura.
 - ❑ Hipóteses: Alongamento grande, pequenas deformações, de forma a permitir que a asa seja modelada por uma equação diferencial linear;
 - ❑ Pode-se assumir a teoria de St. Venant, e a asa pode ser idealizada como um conjunto de pequenas seções de asa justapostos ao longo da envergadura.
-

Modelo estrutural da asa contínua



$$T(y) = GJ \frac{d\theta}{dy}$$

Aproximação da asa por uma viga

$$\Sigma M_y = 0 = T - tdy - \left(T + \frac{dT}{dy} dy \right) = \left(-t - \frac{dT}{dy} \right) dy$$

Modelo estrutural da asa contínua

- Assume-se que a estrutura está sujeita a uma distribuição de torque $t(y)$ contínua, ao longo da envergadura, com sinal positivo, o que representa um momento de cabrar de cada seção.
- Da teoria de St. Venant, pode-se relacionar as equações de equilíbrio com as forças atuantes:

$$T(y) = GJ \frac{d\theta}{dy} \Rightarrow \frac{dT}{dy} = \frac{d}{dy} \left(GJ \frac{d\theta}{dy} \right) = -t(y)$$

Esforços aerodinâmicos

- ❑ Os esforços aerodinâmicos atuantes são função das deformações estruturais, e neste caso assume-se um primeira aproximação onde a interferência aerodinâmica;
 - ❑ A equação anterior pode ser empregada para calcular a divergência de uma asa como a indicada na figura anterior.
-

Modelo aerodinâmico

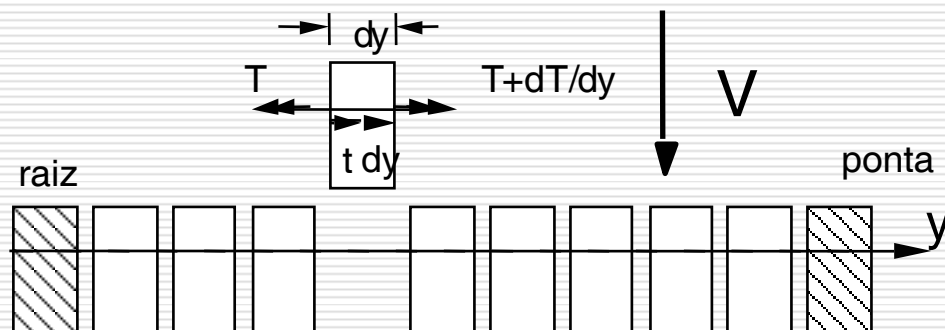
- Teoria das faixas: Assume que não existe interferência aerodinâmica entre faixas que discretizam a asa ao longo da envergadura.

$$l(y) = qc C_{l_\alpha} \alpha = qc C_{l_\alpha} (\alpha_o + \theta)$$

$$t(y) = qc \textcolor{red}{e} C_{l_\alpha} (\alpha_o + \theta) + qc^2 C_{mac} + nmgd$$

- Desta forma o carregamento aerodinâmico pode ser facilmente assumido como a soma dos carregamentos aerodinâmicos de infinitas seção típicas distribuídas ao longo da envergadura.
-

Equações de equilíbrio - Momentos



$$\frac{dT}{dy} = -t(y)$$

$$\frac{dT}{dy} = \frac{d}{dy} \left(GJ \frac{d\theta}{dy} \right) = -t(y)$$

$$t(y) = qceC_{l\alpha} (\alpha_o + \theta) + qc^2C_{mac} + nmgd \Rightarrow$$

$$\frac{d}{dy} \left(GJ \frac{d\theta}{dy} \right) + qceC_{l\alpha} \theta = - \left(qceC_{l\alpha} \alpha_o + qc^2c_{mac} + nmgd \right)$$

Solução da Equação diferencial

$$\frac{d^2\theta}{dy^2} + \left(\frac{qceC_{l\alpha}}{GJ} \right) \theta = -K \quad \text{Fazendo } \lambda^2 = \frac{qceC_{l\alpha}}{GJ}$$

e $K = (qceC_{l\alpha}\alpha_o + qc^2c_{mac} + nmgd) / GJ$ simplificamos para

$$\theta'' + \lambda^2\theta = -K$$

Que possui solução na forma

$$\theta(y) = A \sin \lambda y + B \cos \lambda y - K / \lambda^2$$

Condições de contorno

Para resolvermos o problema precisamos definir condições de contorno. Para particularizar a nossa solução:

$$\theta(y) = A \sin \lambda y + B \cos \lambda y - K / \lambda^2$$

A forma de particularizar é aplicar as condições de contorno que caracterizam o nosso problema, isto é uma asa reta, sem afilamento engastada na raiz e com distribuição constantes das propriedades de rigidez (G e J)

$$\text{Engastamento na raiz: } \theta(0) = 0 = B - \frac{K}{\lambda^2} \Rightarrow B = \frac{K}{\lambda^2}$$

Momento na ponta da asa (em $y = L$) é nulo:

$$T(L) = GJ\theta'(L) = 0 = GJ \left[A\lambda \cos \lambda L - \frac{K}{\lambda^2} \lambda \sin \lambda L \right]$$

Condições de contorno

Resolvendo as equações resultantes da aplicação da condição de Contorno, temos A e B definidos pela relações anteriores chegando a:

$$\theta(y) = \frac{-K}{\lambda^2} [1 - \cos \lambda y - (\tan \lambda L)(\sin \lambda y)]$$

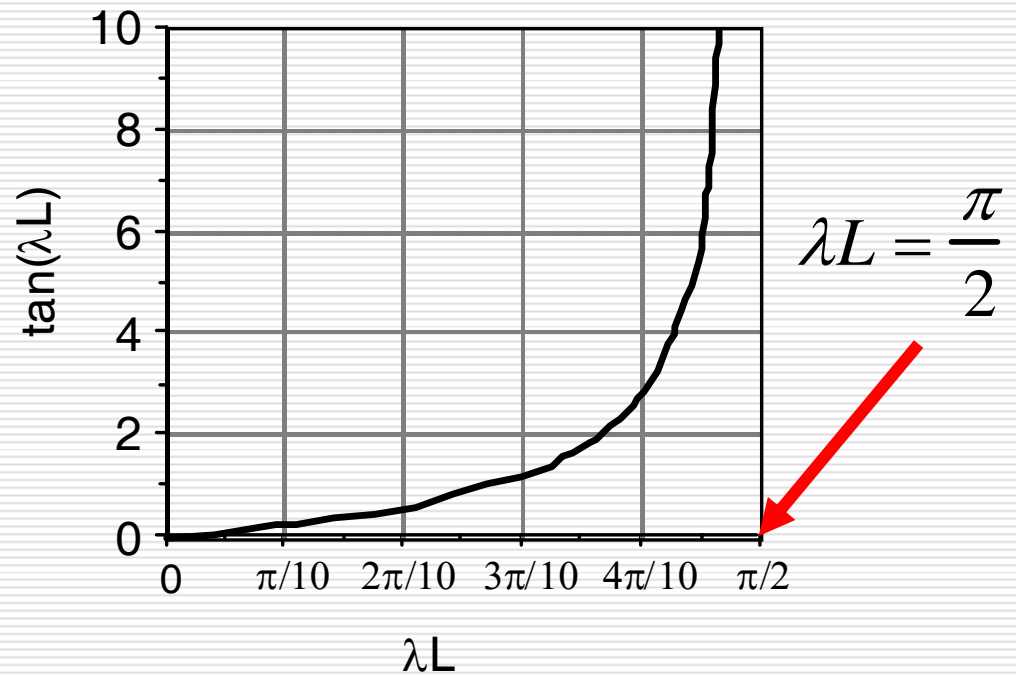
$$\theta(y) = - \left(\alpha_o + \left[\frac{c}{e} \right] \left[\frac{c_{mac}}{C_{l\alpha}} \right] + \left[\frac{nmgd}{qceC_{l\alpha}} \right] \right) [1 - \cos \lambda y - (\tan \lambda L)(\sin \lambda y)]$$

Esta equação representa a distribuição de torção de uma asa reta e Alongada, sujeita a um carregamento aerodinâmico que a deforma em Torção.

Amplificação da torção

- Note que temos um termo que pode se tornar infinito dependendo do seu argumento;
- Pode portanto associar este comportamento a um critério de divergência.

$$\theta(y) = \frac{-K}{\lambda^2} \left[1 - \cos \lambda y - (\tan \lambda L)(\sin \lambda y) \right]$$



Critério de divergência:

- Do resultado apresentado graficamente, pode-se estabelecer o seguinte critério:

$$\lambda^2 = \frac{\pi}{2L} = \frac{qceC_{l\alpha}}{GJ} \Rightarrow$$

$$q_D = \left(\frac{\pi}{2L} \right)^2 \left(\frac{GJ}{ceC_{l\alpha}} \right) = \left(\frac{\pi}{2} \right)^2 \left(\frac{GJ}{L} \right) \left(\frac{1}{c \cdot LeC_{l\alpha}} \right)$$

- Pode-se fazer uma analogia deste resultado com o obtido para a seção típica, a pressão dinâmica é diretamente proporcional a rigidez e inversamente proporcional a área da asa.
-

Solução formal para a divergência

- Um resultado importante que foi observado na seção típica, é que a divergência é um fenômeno associado à estabilidade da estrutura e, conseqüentemente, independe de forças externas atuantes.
- Desta forma, podemos estudar a equação que representa a distribuição de torção para a asa na sua forma homogênea:

$$\frac{d^2\theta}{dy^2} + \left(\frac{qceC_{l\alpha}}{GJ} \right) \theta = 0$$

Solução elementar

- Assume-se as mesmas condições do caso anterior, e conseqüentemente A e B serão diferentes.

$$\frac{d^2\theta}{dy^2} + \left(\frac{qceC_{l\alpha}}{GJ} \right) \theta = 0 \quad \theta(y) = A \sin \lambda y + B \cos \lambda y$$

- Conhecida a solução elementar, e considerando conhecido A e B, pode-se partir para o estudo da estabilidade do sistema aeroelástico.
-

Critério de estabilidade de Euler

- Do equilíbrio estático, chega-se a relação geral entre força e deslocamento em regime linear:

$$\{F\} = [K]\{u\}$$

- Assumindo que existe uma pequena perturbação u_p , que se soma a condição de equilíbrio estático discriminada daqui por diante como u_s , tem-se o seguinte conjunto de equações:

(Leonard Euler, matemático suíço, 1707-1783)

Critério de estabilidade de Euler

$$[K]\{u\} = [K]\{u_p + u_s\} = \{F\} \quad (\text{acrescentamos a perturbação})$$

$$[K]\{u_s\} + [K]\{u_p\} = \{F\}$$

Porém, do equilíbrio estático temos:

$$[K]\{u_s\} = \{F\} \Rightarrow [K]\{u_p\} = \{0\}$$

$$\{u_p\} = \{0\} \quad \text{Solução trivial}$$

$$[K] = [0] \quad \text{Caracteriza um estado de estabilidade neutra}$$

Critério de estabilidade de Euler

□ Se $[K]\{u_p\} = \{0\}$ e $\{u_p\} \neq \{0\}$

então:

- A equação derivada do determinante de $[K]$ deve ser nula ($\Delta=0$);
- $\Delta=0$ é a equação característica, e as suas raízes são os auto-valores do sistema;
- É um polinômio de ordem N , onde N é a dimensão da matriz $[K]$
 - Se $\Delta > 0$ – o sistema é estável
 - Se $\Delta < 0$ – o sistema é instável

Determinante de uma matriz: A condição para que se tenha solução não nula para u_p , só existe se $\det[K] = 0$!

Nosso caso de estabilidade...

$$T(L) = GJ\theta'(L) = 0 \Rightarrow \begin{cases} \theta'(L) = A\lambda \cos \lambda L - B\lambda \sin \lambda L = 0 \\ A(\lambda \cos \lambda L) + B(-\lambda \sin \lambda L) = 0 \end{cases}$$

$$\theta(0) = 0 \Rightarrow \begin{cases} \theta(0) = A \sin \lambda 0 + B \cos \lambda 0 = 0 \\ A(0) + B(1) = 0 \end{cases}$$

$$\begin{bmatrix} 0 & 1 \\ (\lambda \cos \lambda L) & (-\lambda \sin \lambda L) \end{bmatrix} \begin{Bmatrix} A \\ B \end{Bmatrix} = \begin{Bmatrix} 0 \\ 0 \end{Bmatrix}$$

Determinante de estabilidade

$$\begin{bmatrix} 0 & 1 \\ (\lambda \cos \lambda L) & (-\lambda \sin \lambda L) \end{bmatrix} \begin{Bmatrix} A \\ B \end{Bmatrix} = \begin{Bmatrix} 0 \\ 0 \end{Bmatrix} \quad ; \quad \Delta = \lambda \cos \lambda L = 0$$

Soluções para a equação onde o determinante se anula. O menor valor deste conjunto é a pressão dinâmica de divergência. Como:

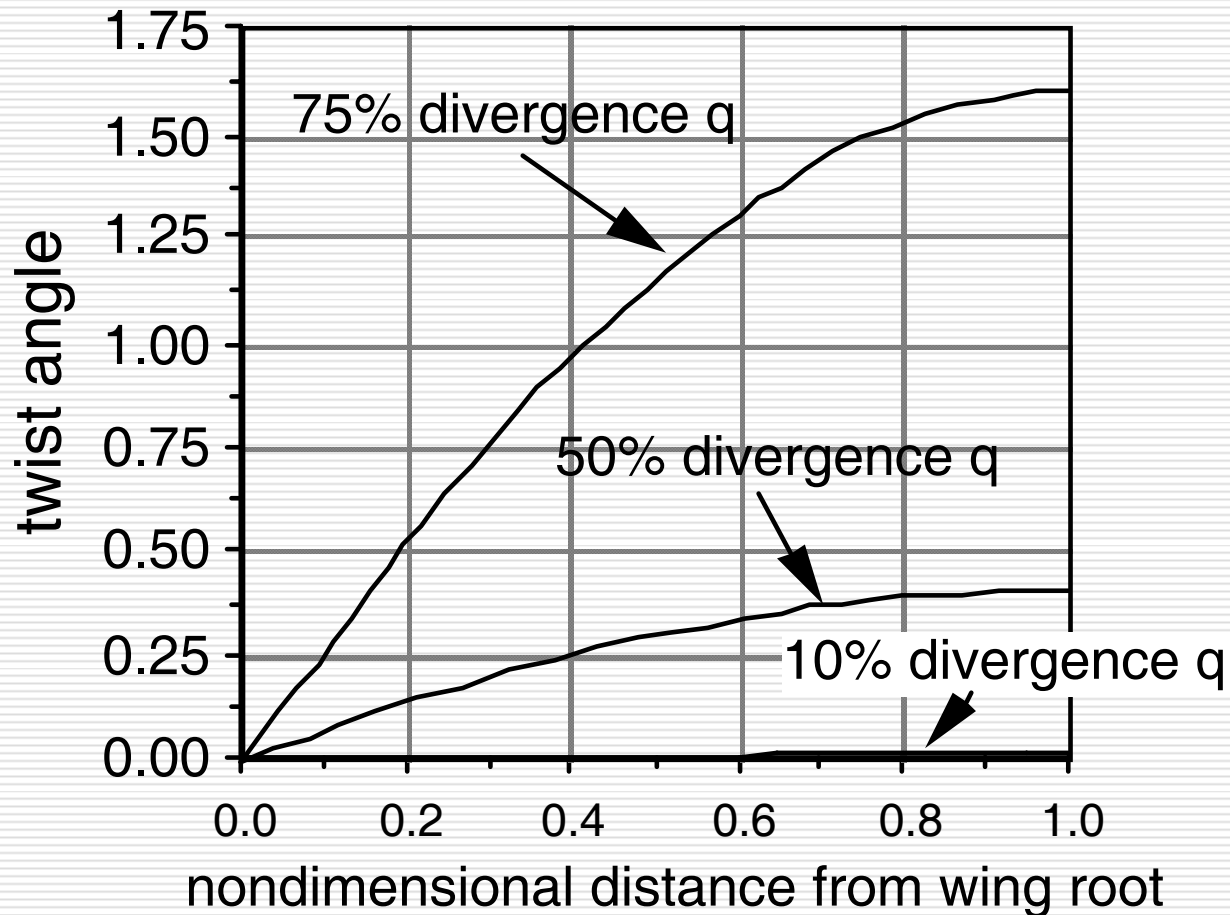
$$\lambda L = \frac{\pi}{2}, \frac{3\pi}{2}, \dots, \frac{(2n+1)\pi}{2}$$

$$\lambda^2 = \frac{qceC_{l\alpha}}{GJ} \Rightarrow \lambda^2 L^2 = \frac{\pi^2}{4}$$

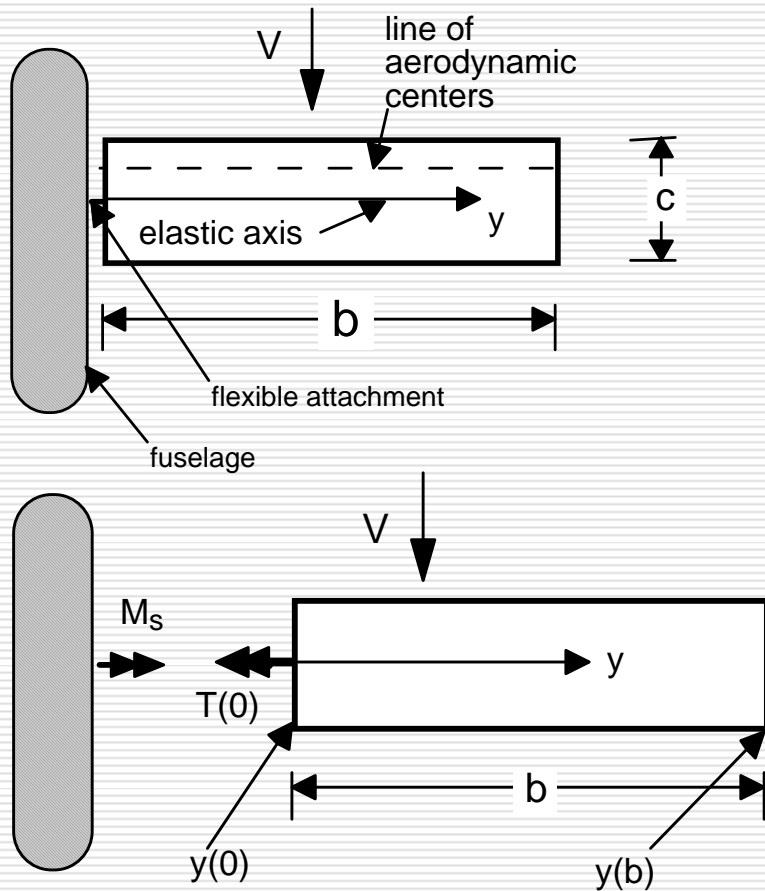
$$\lambda^2 L^2 = \frac{\pi^2}{4} = \frac{q_D c e c_{l\alpha} L^2}{GJ}$$

$$\frac{\pi^2}{4L^2} = \frac{qceC_{l\alpha}}{GJ} \Rightarrow q_D = \left(\frac{\pi}{2L} \right)^2 \left(\frac{GJ}{ceC_{l\alpha}} \right) \quad \lambda \text{ é o autovalor!}$$

Efeito no ângulo de torção



Exemplos de Aplicação



Divergência de uma asa com engaste flexível

$$\theta'' + \lambda^2 \theta = 0$$

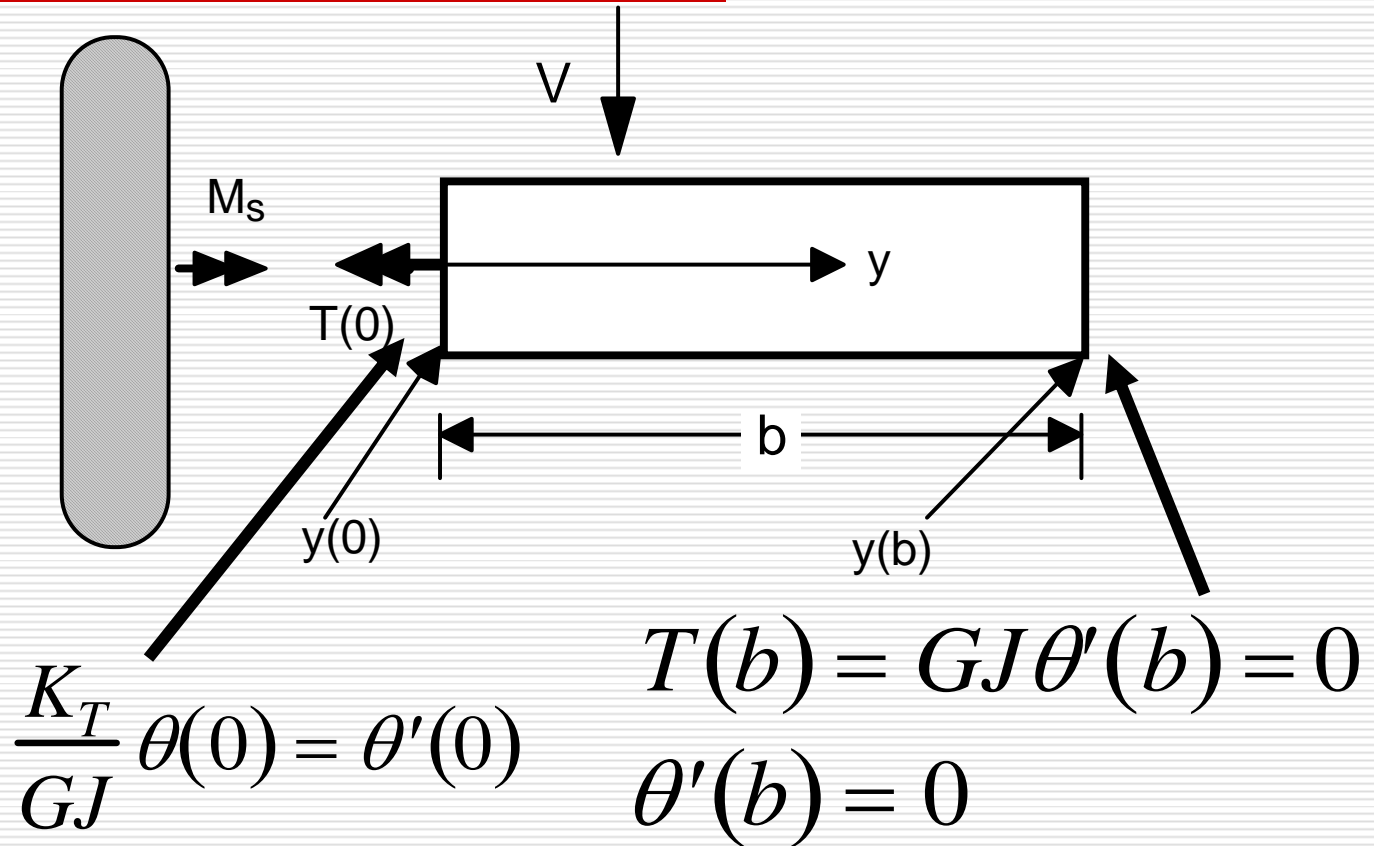
$$\left(\lambda^2 = \frac{q c e c_{l_\alpha}}{GJ} \right)$$

$$M_s \equiv K_T \theta(0)$$

$$T(0) = GJ \theta'(0)$$

$$K_T \theta(0) = GJ \theta'(0)$$

Condições de contorno



Determinante de Estabilidade

$$\theta(y) = A \sin \lambda y + B \cos \lambda y$$

$$\theta'(y) = A \lambda \cos \lambda y - B \lambda \sin \lambda y$$

$$\frac{K_T}{GJ} \theta(0) = \theta'(0)$$

$$B \frac{K_T b}{GJ} = A \lambda b$$

$$\beta = \frac{GJ}{K_T b}$$

$$A \beta \lambda b - B = 0$$

O sistema de equações pode ser representado da mesma forma do caso onde o engaste da asa é rígido. Define-se o parâmetro β como sendo a forma de representar o quanto o engaste é rígido com relação a rigidez em torção da asa.

Determinante de Estabilidade

A torção na ponta da asa por sua vez é nula, o que implica em uma condição a mais que permite montar o sistema de equações para definir A e B.

$$\theta'(b) = A\lambda \cos \lambda b - B\lambda \sin \lambda b = 0$$

O sistema de equações, escrito na forma matricial fica portanto:

$$\begin{bmatrix} \beta\lambda b & -1 \\ \lambda \cos \lambda b & -\lambda \sin \lambda b \end{bmatrix} \begin{Bmatrix} A \\ B \end{Bmatrix} = \begin{Bmatrix} 0 \\ 0 \end{Bmatrix}$$

E o determinante de divergência aeroelástica é dado por:

$$\Delta = \lambda(-\beta\lambda b \sin \lambda b + \cos \lambda b) = 0$$

Equação de estabilidade

$$\Delta = \lambda(-\beta\lambda b \sin \lambda b + \cos \lambda b) = 0 \Rightarrow$$

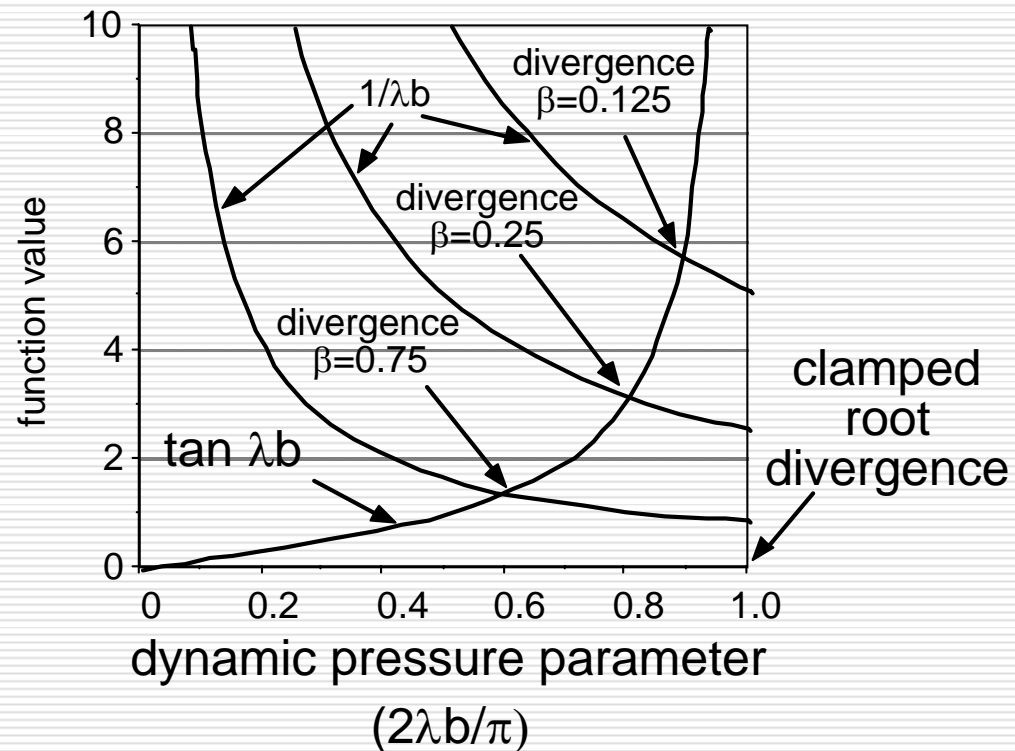
$$\Rightarrow -\beta\lambda b \sin \lambda b + \cos \lambda b = 0$$

$$\cos \lambda b = \beta\lambda b \sin \lambda b \Rightarrow$$

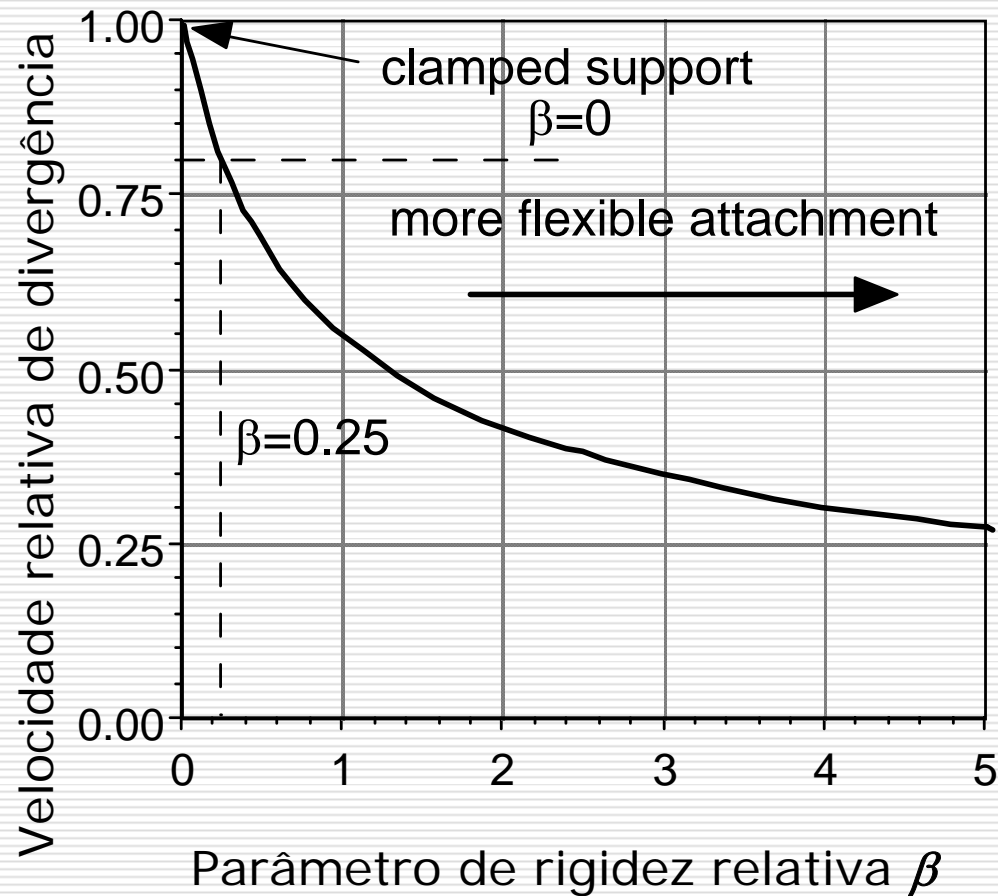
$$\Rightarrow \tan \lambda b = \frac{1}{\beta\lambda b}$$

Equação transcendental ->

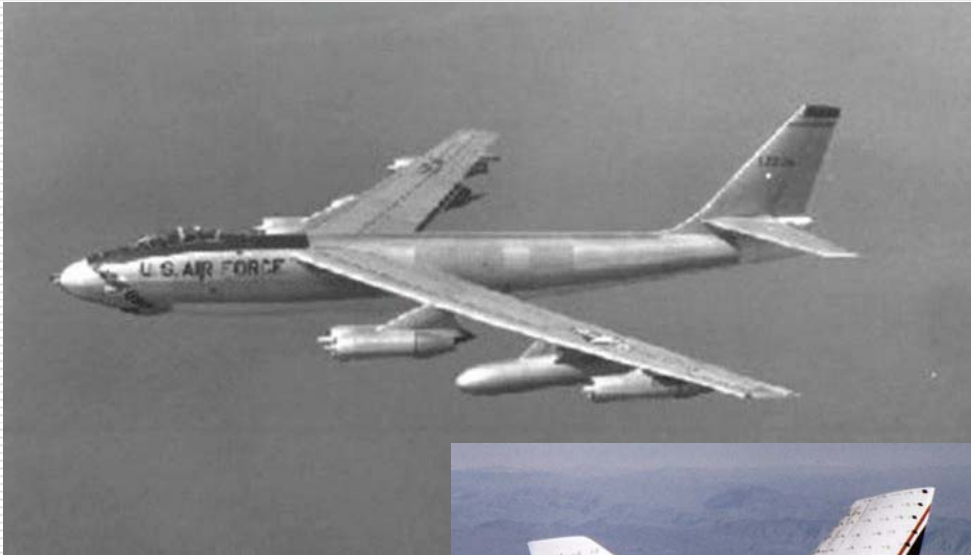
$$\lambda^2 = \frac{qceC_{l\alpha}}{GJ} \quad \boxed{\beta = \frac{GJ}{K_T b}}$$



Resposta final...



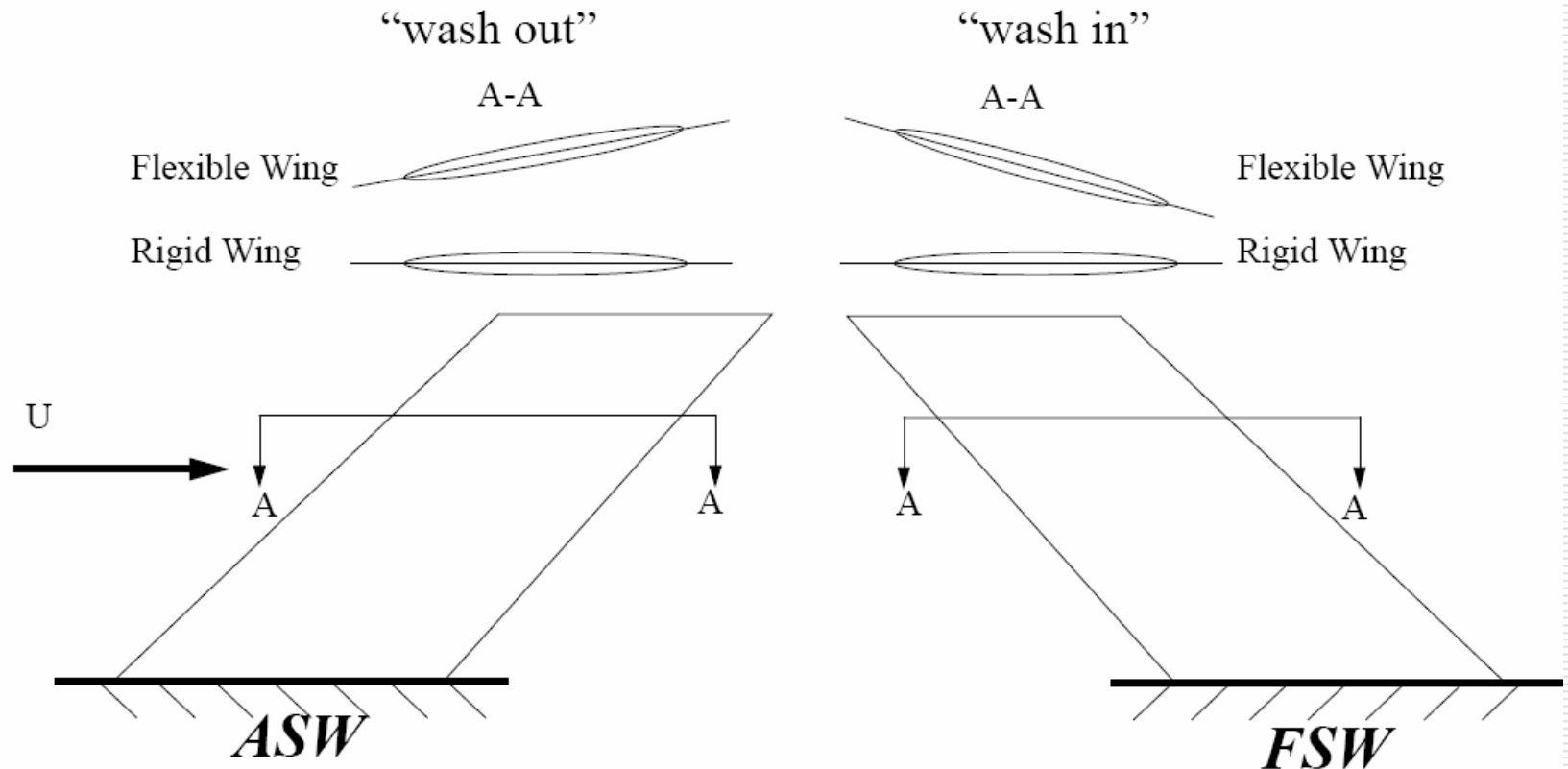
O efeito do enflechamento



Considerações iniciais

- Asas podem ter o seu enfilechamento positivo ("para trás"), ou negativo ("para frente")
 - Para que enfilechar para frente ?
 - Tentar diminuir a distância entre o centro aerodinâmico e o centro de gravidade da aeronave;
 - Melhorar características de controlabilidade longitudinal para o caso de aeronaves com pouco volume de cauda, uma vez que a eficiência de sustentação aumentada;
 - Diminuir efeito de arrasto de onda no regime transônico.
-

Efeitos de “Wash in” e “Wash Out”



São resultantes do acoplamento de um movimento de flexão que induz uma torção

Aeroelasticidade estática de asas enflechadas.

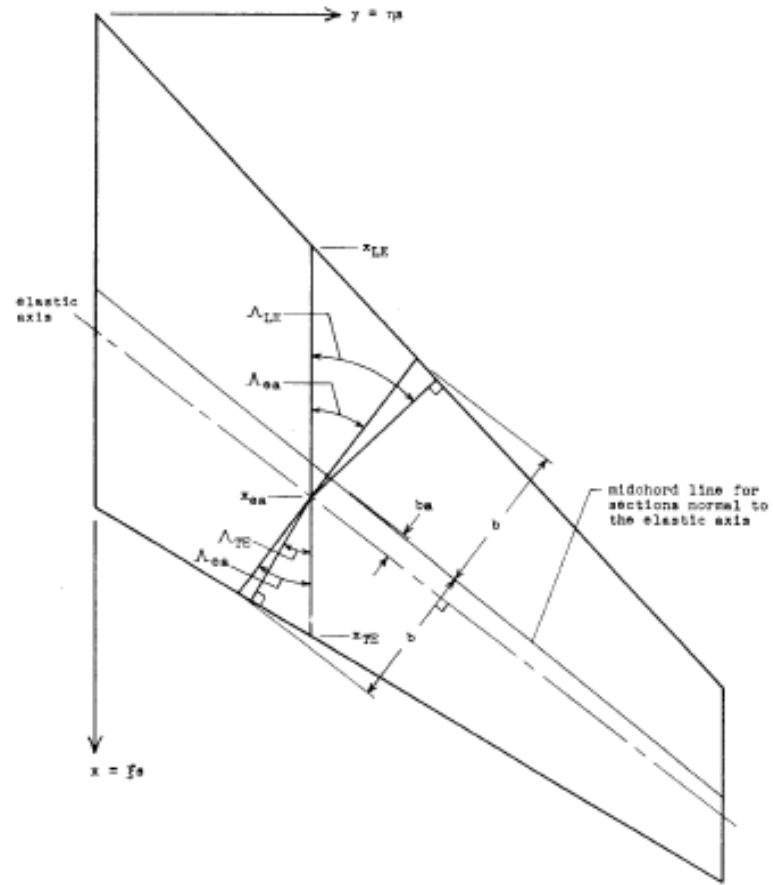
□ Objetivo

- Determinar como a flexão, não somente a orção como se viu antes, muda o carregamento em asas enflechadas;
- Apresentação de modelos aerodinâmicos e estruturais simples.



Efeito do Enflechamento

- **Enflechamento:**
 - Método das componentes de velocidade
- Usualmente, a asa é discretizada em faixas, cuja corda de cada seção típica é perpendicular ao seu eixo elástico;
- Entretanto, se a asa é enflechada, o eixo elástico também será;



Efeito do Enflechamento

- ❑ Quando a asa é enflechada, deve-se observar que as seções típicas, definidas perpendiculares ao eixo elástico, não estão alinhadas com o escoamento;
 - ❑ Emprega-se a solução aerodinâmica bidimensional para resolver o problemas por faixas (aproximação);
 - ❑ Entretanto, alguns “termos novos” surgirão nas relações de sustentação e momento, pois existirá um acoplamento do movimento de flexão que induzirá uma torção nas faixas alinhadas com o escoamento não perturbado;
 - ❑ O primeiro passo será escrever a velocidade de deformação da asa na direção vertical como função de coordenadas de um novo sistema de eixos, onde um deles é coincidente com o eixo elástico da asa.
-

Efeito do Enflechamento

Ref. NACA-REPT-1014

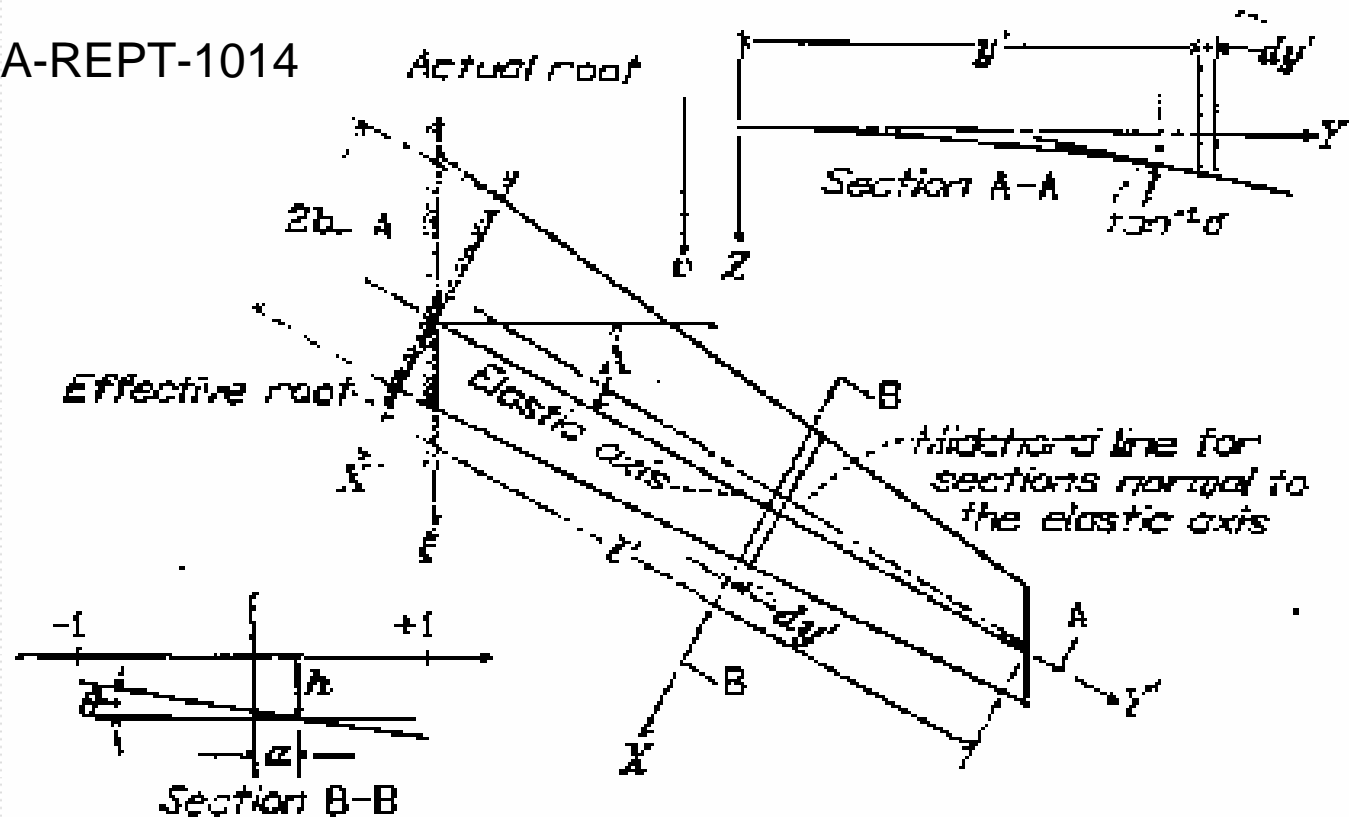


FIGURE 1.—Nonuniform swept wing treated in the present analysis.

Efeito do Enflechamento

- Sendo “s” o eixo alinhado com a direção da envergadura e coincidente com o eixo elástico; e “r” perpendicular a “s”, um deslocamento Z escrito neste novo sistema de coordenadas é uma função: $Z = Z(r, s, t)$. (na figura, $y' = s$)
- E a condição de contorno, ou seja o normalwash induzido pela superfície da asa é:

$$W(r, s) = -V_0 \frac{\partial Z}{\partial \xi}(r, s)$$

onde a coordenada ξ é paralela com o escoamento não perturbado. Define-se o normalwash (ou downwash) como sendo a velocidade normal induzida pelo deslocamento da asa sujeita ao escoamento V_0 .

$$\xi // V_0 \Rightarrow \frac{\partial Z}{\partial \xi} = \frac{\partial Z}{\partial r} \frac{\partial r}{\partial \xi} + \frac{\partial Z}{\partial s} \frac{\partial s}{\partial \xi} = \cos \Lambda \frac{\partial Z}{\partial r} + \sin \Lambda \frac{\partial Z}{\partial s}$$

Efeito do Enflechamento

- **Condição de contorno:**

$$W(r, s) = - \left(V_0 \cos \Lambda \frac{\partial Z}{\partial r} + V_0 \sin \Lambda \frac{\partial Z}{\partial s} \right)$$

- **Porém o deslocamento na direção do eixo Z pode ser escrito como uma função de $h(s)$ e $\alpha(s)$, graus de liberdade da seção típica :**

$$Z(r, s) = h(s) - r \cdot \alpha(s)$$

onde se considerou que $\cos \alpha \cong 1.0$ e $\sin \alpha \cong \alpha$

- **Substituindo esta última relação na condição de contorno:**

$$W(r, s) = V_0 \cos \Lambda \frac{\partial}{\partial r} [h(s) - r \cdot \alpha(s)] + V_0 \sin \Lambda \frac{\partial}{\partial s} [h(s) - r \cdot \alpha(s)] \Rightarrow$$

$$\Rightarrow W(r, s) = -V_0 \cos \Lambda [\alpha(s)] + V_0 \sin \Lambda \left[\frac{\partial h}{\partial s}(s) - r \cdot \frac{\partial \alpha}{\partial s}(s) \right]$$

Efeito do Enflechamento

- Portanto, sobre o eixo elástico ($r = 0$) temos a expressão final para o ângulo de ataque no sistema rotacionado, a partir da expressão para o downwash:

$$W(r, s) = -V_0 \cos \Lambda [\alpha(s)] + V_0 \sin \Lambda \left[\frac{\partial h}{\partial s}(s) - \kappa \cdot \frac{\partial \alpha}{\partial s}(s) \right]$$

$$\Rightarrow W(r, s) = -V_0 \cos \Lambda [\alpha(s)] + V_0 \sin \Lambda \left[\frac{\partial h(s)}{\partial s} \right]$$

- Como $V_n = V_0 \cos(\Lambda)$, o ângulo de ataque observado pela seção típica com corda normal ao eixo elástico é dado por:

$$-\frac{W(r, s)}{V_0 \cos \Lambda} = \alpha_s(r, s) = \alpha(s) - \tan \Lambda \left(\frac{\partial h(s)}{\partial s} \right)$$

Efeito do Enflechamento

- Mudando a notação, temos:

$$-\frac{W(r,s)}{V_0 \cos \Lambda} = \alpha_s(r,s) = \theta - \phi \tan \Lambda$$

$$\left(\frac{\partial h(s)}{\partial s} \right) = \phi \rightarrow \text{Inclinação local do eixo elástico deformado em flexão}$$

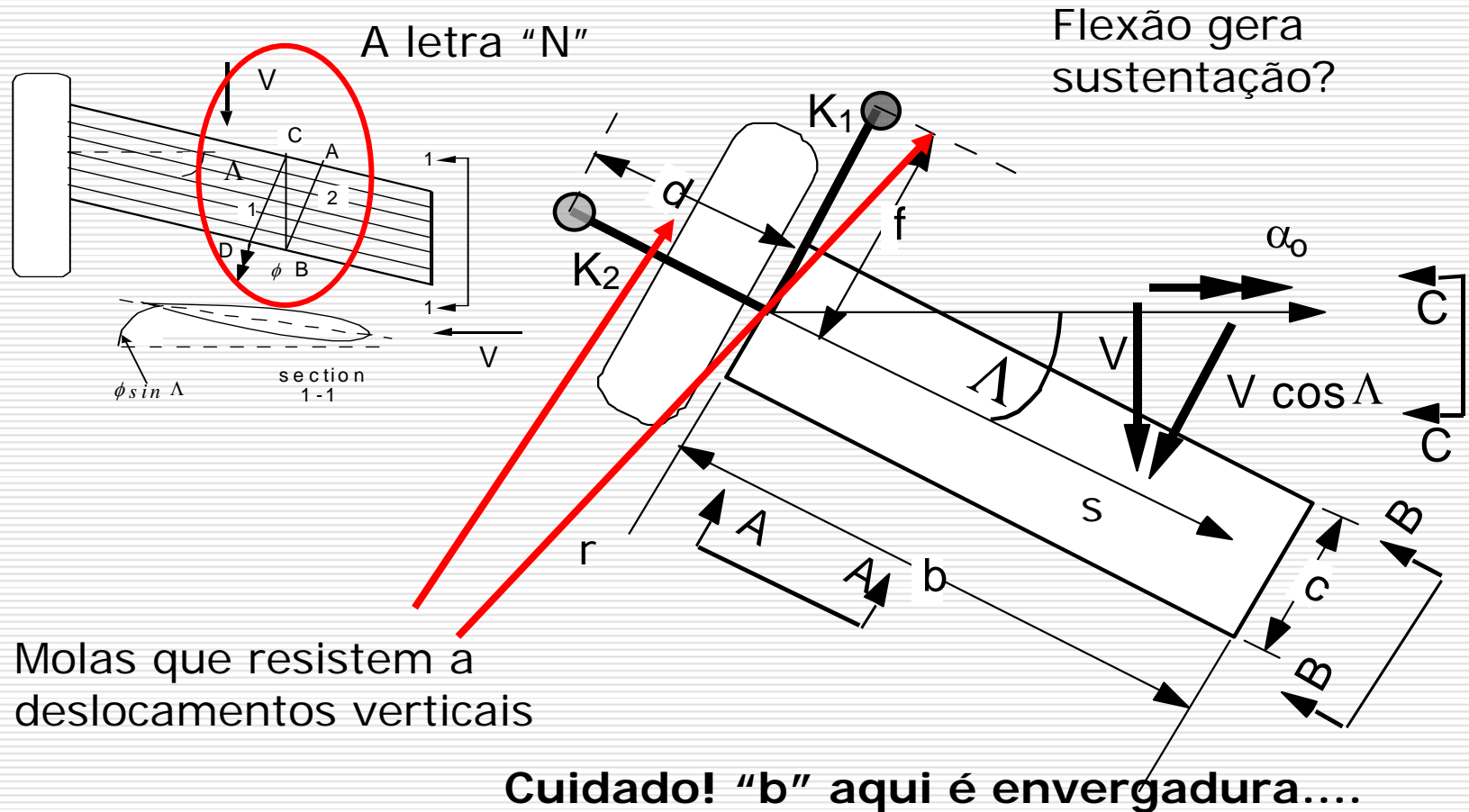
Ou seja, fica claro agora que o ângulo de ataque efetivo na seção típica é composto por uma componente devido a torção (θ) e uma componente devido a flexão ($\phi \cdot \tan \Lambda$), que depende do enflechamento. Note que se o ângulo de enflechamento for positivo (para trás), temos o fenômeno de “wash out”. Por outro Lado, se Λ for negativo, (para frente) temos o “wash in”.

Exemplo simplificado:

Asa rígida com engastes flexíveis

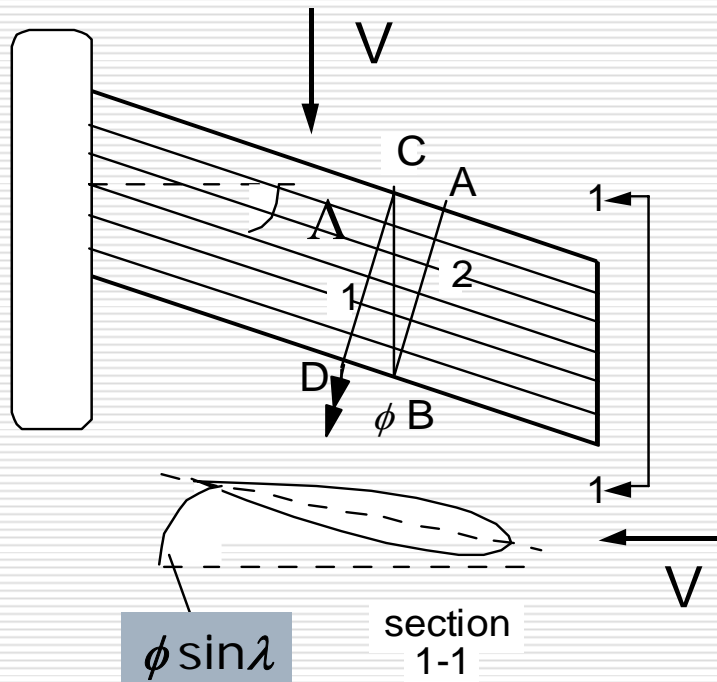
- ❑ Vamos estudar um primeiro modelo simplificado, cujo propósito é entender o efeito do enflechamento.
 - ❑ Supõem-se que a asa é rígida e engastada através de molas que restringem movimento de corpo rígido que em flexão e torção.
-

Sistemas de eixos



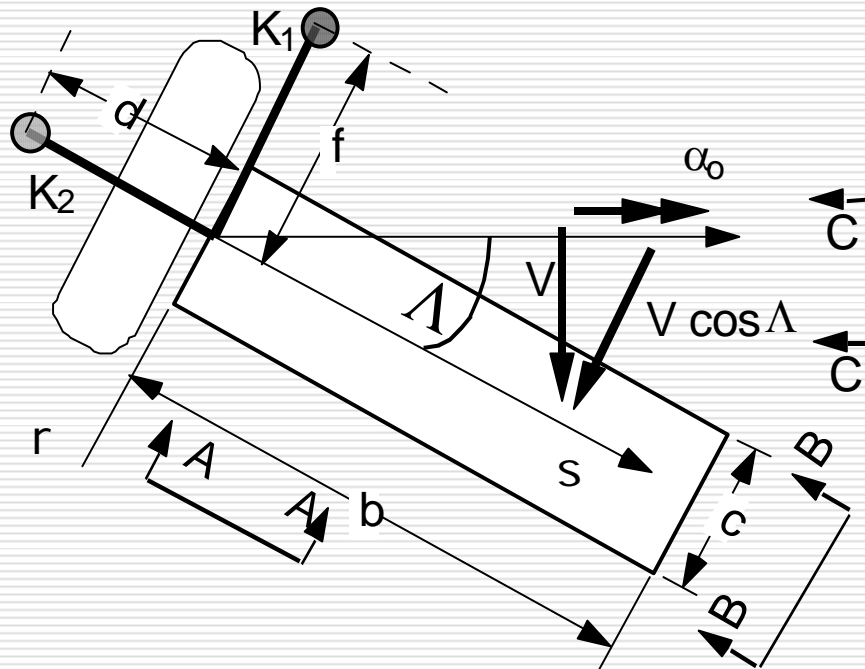
Acoplamento tipo flexo-torção

Pela figura abaixo, pode-se entender como funciona o acoplamento entre o modo de flexão e a torção induzida a uma seção de asa enflechada, alinhada com o escoamento aerodinâmico.



Os segmentos CD e AB acompanham o movimento vertical devido a flexão sem torcer. Por outro lado o segmento CB desloca-se verticalmente, porém ele torce, pois o ponto B desloca-se mais no sentido vertical que o ponto C. O segmento CB representa a seção da asa alinhada com o escoamento.

Sustentação na asa flexível



Para calcular o carregamento aerodinâmico na seção típica, que por razões estruturais é perpendicular ao eixo elástico, leva-se em conta a componente de escoamento não perturbado normal a este eixo.

$$q_n = q \cos^2 \Lambda$$

$$L = q_n c b a_o \left(\frac{\alpha_o}{\cos \Lambda} + \theta - \phi \tan \Lambda \right)$$

Ângulo de ataque efetivo

$$\alpha_{freestream} = \frac{v}{V} = \alpha_o + \theta \cos \Lambda - \phi \sin \Lambda$$

(a expressão acima obtivemos da condição de contorno a pequenas Perturbações – expressão para o downwash)

Entretanto, queremos o ângulo de ataque “percebido” pela seção típica.

$$\alpha_c = \alpha_{corda} = \frac{v}{V \cos \Lambda} = \frac{\alpha_o}{\cos \Lambda} + \frac{\theta \cos \Lambda}{\cos \Lambda} - \frac{\phi \sin \Lambda}{\cos \Lambda}$$

Estrutural ou
na direção da
corda...

$$\alpha_{estrutural} = \theta - \phi \tan \Lambda$$

Sustentação da asa flexível

Portanto, para o cálculo da sustentação na asa assumindo a teoria das faixas, devemos calcular a sustentação em cada faixa empregando a pressão dinâmica equivalente.

$$q_n = q \cos^2 \Lambda \quad \text{Componente de velocidade normal ao eixo elástico da asa.}$$

$$L = q_n c b C_{L\alpha} \left(\frac{\alpha_o}{\cos \Lambda} + \theta - \phi \tan \Lambda \right)$$

Note que esta sustentação é calculada com relação a seção típica, ou seja empregando o ângulo de ataque “estrutural”, mais a contribuição de um ângulo de ataque inicial α_o

Modelo estrutural simplificado

- Assumiu-se que as molas que restringem os movimentos de corpo rígido da nossa asa enflechada são representadas pelas molas K_1 e K_2 , dispostas com uma excentricidade “f” e “d”, respectivamente;
- Estas molas podem ser representadas por molas que restringem os graus de liberdade em flexão na forma da derivada da deformação ao longo da envergadura e no sentido vertical, e o grau de liberdade em torção da asa.

$$K_{\theta} = K_1 f^2$$

$$K_{\phi} = K_2 d^2$$

Carregamento aerodinâmico

- O carregamento aerodinâmico para o nosso problema pode ser aproximado por:

$$\int_0^b (l \cdot s) ds = q_n c C_{l_\alpha} \frac{b^2}{2} \left(\frac{\alpha_o}{\cos \Lambda} + \theta - \phi \tan \Lambda \right)$$

$$\int_0^b (l \cdot e) ds = q_n c C_{l_\alpha} e b \left(\frac{\alpha_o}{\cos \Lambda} + \theta - \phi \tan \Lambda \right)$$

$$\text{Onde: } q_n = \frac{1}{2} \rho V_n^2 = \frac{1}{2} \rho V^2 \cos^2 \Lambda = q \cos^2 \Lambda$$

Note que na realidade são momentos resultantes da distribuição do carregamento aerodinâmico ao longo da envergadura b , no sentido deste e no sentido da corda.

Equilíbrio estático : momentos associados à flexão e torção

Equilíbrio em flexão (ϕ)

$$K_{\phi}\phi = \int_0^b (l \cdot s) ds \quad \Rightarrow$$

$$K_{\phi}\phi = q_n c C_{l_{\alpha}} \frac{b^2}{2} \left(\frac{\alpha_o}{\cos \Lambda} + \theta - \phi \tan \Lambda \right)$$

Equilíbrio em flexão (θ)

$$K_{\theta}\theta = \int (le) dy \quad \Rightarrow$$

$$K_{\theta}\theta = q_n c C_{l_{\alpha}} eb \left(\frac{\alpha_o}{\cos \Lambda} + \theta - \phi \tan \Lambda \right)$$

Chegamos a um sistema de duas equações e duas incógnitas.

“Parametrizando” o problema

$$t = \tan \Lambda$$

$$Q = q_n cb C_{l_\alpha}$$

Equações para o equilíbrio estático supondo ângulo de ataque inicial

$$\begin{bmatrix} K_\phi & 0 \\ 0 & K_\theta \end{bmatrix} \begin{Bmatrix} \phi \\ \theta \end{Bmatrix} = \frac{Q\alpha_o}{\cos \Lambda} \begin{Bmatrix} \frac{b}{2} \\ e \end{Bmatrix} + Q \begin{bmatrix} \frac{-tb}{2} & \frac{b}{2} \\ -te & e \end{bmatrix} \begin{Bmatrix} \phi \\ \theta \end{Bmatrix} \Rightarrow$$

Note que a matriz de rigidez estrutural é desacoplada, porém a matriz aeroelástica representará um acoplamento de natureza aerodinâmica.

$$\Rightarrow \left[\begin{bmatrix} K_\phi & 0 \\ 0 & K_\theta \end{bmatrix} - Q \begin{bmatrix} \frac{-tb}{2} & \frac{b}{2} \\ -te & e \end{bmatrix} \right] \begin{Bmatrix} \phi \\ \theta \end{Bmatrix} = \frac{Q\alpha_o}{\cos \Lambda} \begin{Bmatrix} \frac{b}{2} \\ e \end{Bmatrix}$$

Sistema aeroelástico

Resultando em :

$$\begin{bmatrix} \left(K_{\phi} + \frac{Qtb}{2} \right) & \left(-\frac{Qb}{2} \right) \\ (Qte) & (K_{\theta} - Qe) \end{bmatrix} \begin{Bmatrix} \phi \\ \theta \end{Bmatrix} = \frac{Q\alpha_o}{\cos \Lambda} \begin{Bmatrix} \frac{b}{2} \\ e \end{Bmatrix}$$

ou

$$[\bar{K}_{ij}] \begin{Bmatrix} \phi \\ \theta \end{Bmatrix} = \frac{Q\alpha_o}{\cos \Lambda} \begin{Bmatrix} \frac{b}{2} \\ e \end{Bmatrix}$$

Resposta aeroelástica

- Resolve-se o sistema de equações para obter ϕ e θ :

$$\begin{Bmatrix} \phi \\ \theta \end{Bmatrix} = \frac{Q\alpha_o}{\cos \Lambda} \begin{bmatrix} \left(K_\phi + \frac{Qtb}{2}\right) & \left(-\frac{Qb}{2}\right) \\ (Qte) & (K_\theta - Qe) \end{bmatrix}^{-1} \begin{Bmatrix} \frac{b}{2} \\ e \end{Bmatrix}$$

$$\phi = \frac{Qb\alpha_0}{2\cos \Lambda} \left(\frac{1}{K_\phi + Q \left(\frac{b \tan \Lambda}{2} - \frac{K_\phi}{K_\theta} e \right)} \right) \quad \theta = \frac{Qb\alpha_0}{\cos \Lambda} \left(\frac{1}{K_\theta + Q \left(\frac{K_\theta}{K_\phi} \frac{b \tan \Lambda}{2} - e \right)} \right)$$

Estabilidade do sistema

Utilizamos o critério de estabilidade de Euler para estudar a estabilidade do sistema, chegando a uma equação para o parâmetro “Q” (não confundir “Q” com “q” de pressão dinâmica!)

$$\Delta = |\overline{K}| = \left(K_{\phi} + \frac{Qbt}{2} \right) (K_{\theta} - Qe) + Q^2 \frac{bet}{2}$$

$$\Delta = K_{\theta} K_{\phi} + Q \left(K_{\theta} \frac{bt}{2} - K_{\phi} e \right)$$

Condição de divergência

$$\Delta = 0$$

$$Q_D = \frac{K_\theta K_\phi}{eK_\phi - K_\theta \frac{bt}{2}}$$

$$Q = q_n c b a_o$$

Ou agora, isolando a pressão dinâmica associada à velocidade de escoamento não perturbado temos:

$$q_D = \frac{K_\theta / Sea_o}{\cos^2 \Lambda \left(1 - \left(\frac{b}{e} \right) \left(\frac{K_\theta}{K_\phi} \right) \frac{\tan \Lambda}{2} \right)}$$

O que acontece se Λ for igual a zero?

Análise do enflechamento

Fazendo o denominador igual a zero:

$$1 - \left(\frac{b}{e}\right) \left(\frac{K_{\theta}}{K_{\phi}}\right) \frac{\tan \Lambda_{critical}}{2} = 0$$

$$\tan \Lambda_{crit} = 2 \left(\frac{e}{c}\right) \left(\frac{c}{b}\right) \left(\frac{K_{\phi}}{K_{\theta}}\right)$$

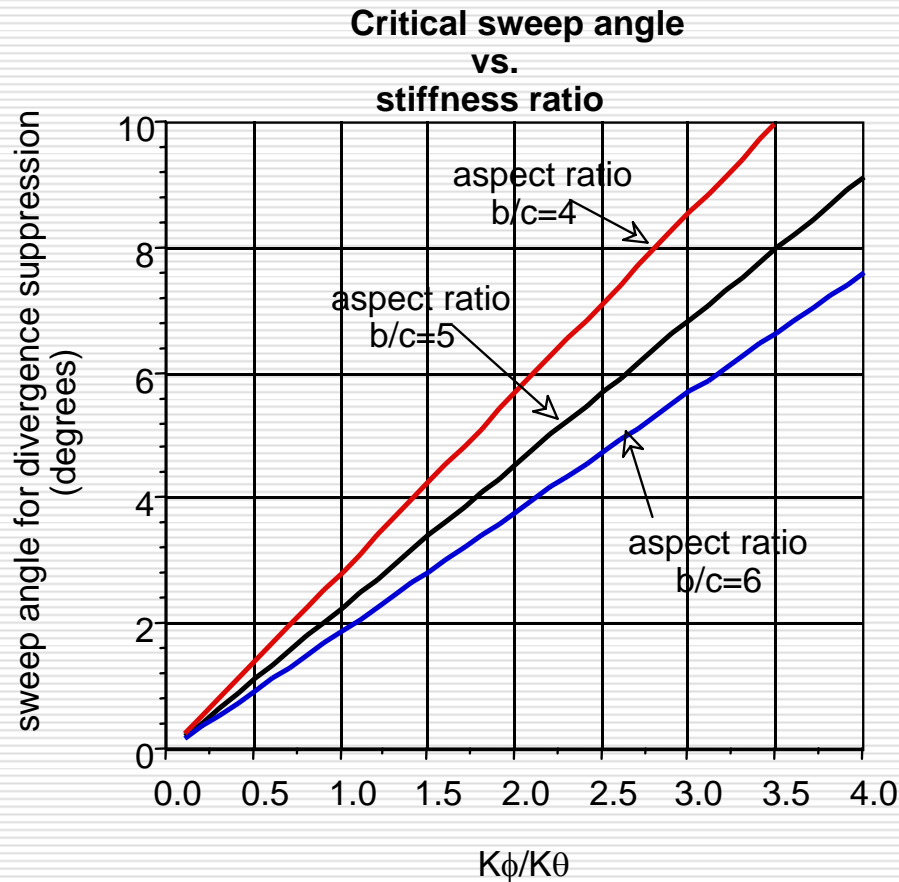
Implica em uma pressão dinâmica de divergência infinita.

Sem divergência:

$$\Lambda \geq \tan^{-1} \left(2 \left(\frac{e}{c}\right) \left(\frac{c}{b}\right) \left(\frac{K_{\phi}}{K_{\theta}}\right) \right)$$

Exemplo

$$e/c = 0.1$$



$$b/c = 4, 5, 6$$

Se a razão entre as rigidezes em flexão e torção for 3, temos $\Lambda_{cr} = 5.71^\circ$. Ou seja se a asa for enflechada mais de 5.71° , nunca teremos divergência.

Eficiência de sustentação

- Eficiência de sustentação é definida como a razão entre a sustentação produzida por uma asa flexível e a sustentação produzida pela mesma asa, porém considerando-a rígida.

$$L^{rígida} = q S C_{L\alpha} \alpha_o \cos \Lambda$$

$$L^{flexível} = q_n S C_{L\alpha} \left(\frac{\alpha_o}{\cos \Lambda} + \theta - \phi \tan \Lambda \right)$$

Onde, $q_n = q \cos^2 \Lambda$ emprega-se a pressão dinâmica normal ao eixo elástico.

Eficiência de sustentação

- Substituindo os ângulos da inclinação devido a flexão e devido a torção, obtidos da solução do sistema de equações, na relação:

$$L^{flexível} = q_n SC_{L\alpha} \left(\frac{\alpha_o}{\cos \Lambda} + \theta - \phi \tan \Lambda \right)$$

- Temos:

$$L = \frac{q_n SC_{L\alpha} \alpha_o}{\cos \Lambda} \left(1 + \frac{QK_{\phi} e}{\Delta} - \frac{QbK_{\theta} \tan \Lambda}{2\Delta} \right)$$

Sustentação da asa flexível

$$L = qSC_{L\alpha}\alpha_o \cos \Lambda \left(\frac{1}{1 + \frac{Q}{K_\theta K_\phi} \left(K_\theta \frac{b \tan \Lambda}{2} - K_\phi e \right)} \right)$$

Fazendo: $Q = q_n Sc_{l_\alpha}$

$$Q_D = \frac{K_\phi K_\theta}{K_\phi e - \frac{K_\theta b \tan \Lambda}{2}}$$

Eficiência da sustentação

$$L = \frac{qSa_o\alpha_o \cos \Lambda}{1 - \frac{Q}{Q_D}}$$

$$Q = q_n SC_{L\alpha}$$

$$Q_D = \frac{K_\phi K_\theta}{K_\phi e - \frac{K_\theta b \tan \Lambda}{2}}$$

Onde:

$$q_D = \frac{\frac{K_\theta}{Se a_o}}{\cos^2 \Lambda \left(1 - \left(\frac{b}{e} \right) \left(\frac{K_\theta}{K_\phi} \right) \frac{\tan \Lambda}{2} \right)}$$

$\frac{L}{qSa_o\alpha_o \cos \Lambda} = \frac{L^{flexível}}{L^{rígido}} = \frac{1}{1 - \frac{q}{q_D}}$
--

Exemplo Numérico

$$q_D = \frac{q_0}{\cos^2 \Lambda \left(1 - \left(\frac{b}{c} \right) \left(\frac{c}{e} \right) \left(\frac{K_\theta}{K_\phi} \right) \frac{\tan \Lambda}{2} \right)}$$

Sendo as condições:

$$q_o = 250 \text{ lb} / \text{ft}^2 \quad \frac{K_\phi}{K_\theta} = 3$$

$$\frac{b}{c} = 6$$

$$\Lambda = 30^\circ$$

$$\frac{e}{c} = 0.1$$

Eficiência de sustentação - final

